

02;12  
©1995

# ИССЛЕДОВАНИЕ СПЕКТРОВ ЭНЕРГИЙ РАСПАДА ВТОРИЧНЫХ КЛАСТЕРНЫХ ИОНОВ МЕДИ И АЛЮМИНИЯ

*А.Д.Беккерман, И.В.Веревкин,  
С.В.Верхотуров, Н.Х.Джемилев*

При ионном распылении твердого тела в потоке распыленных частиц заметную долю составляют кластерные ионы. Распыленные кластеры образуются в состоянии сильного колебательного возбуждения и распадаются по пути от распыляемой мишени к коллектору. Мономолекулярные распады кластерных ионов в значительной степени влияют на результаты экспериментов, в которых измеряются распределения распыленных частиц по массам, кинетическим и внутренним энергиям [1–3]. Систематические исследования процесса распада распыленных кластеров позволяют получить новую информацию как о процессе образования этих частиц, так и об их физико-химических свойствах.

В настоящей работе в исследованиях вторичных кластерных ионов алюминия и меди мы применили методику измерений спектров энергий распада (*kinetic energy release distribution*), широко применяемую для газофазных кластеров и молекул [4,5] и модифицированную нами для ионного распыления [6]. Спектры энергий распада характеризуют долю внутренней энергии кластера, превратившуюся в результате распада в кинетическую энергию движения осколков. Обработка результатов этих измерений позволяет оценить энергии диссоциации распыленных кластеров и объяснить закономерности, проявляющиеся в их масс-спектрах. Особенно интересно сравнить эти результаты для положительных и отрицательных ионов, а также для двух (или нескольких) конкурирующих каналов распада одного и того же кластера. С этой целью мы провели сравнительные исследования спектров энергий распада:

для кластерных ионов меди  $\text{Cu}_7^+ \rightarrow \text{Cu}_5^+ + \text{Cu}_2$  и  $\text{Cu}_7^+ \rightarrow \text{Cu}_6^+ + \text{Cu}$  (распыление ионами  $\text{Xe}^+$  с энергией 8.5 кэВ),  $\text{Cu}_9^- \rightarrow \text{Cu}_7^- + \text{Cu}_2$  и  $\text{Cu}_9^- \rightarrow \text{Cu}_8^- + \text{Cu}$  (распыление ионами  $\text{Cs}^+$  с энергией 14 кэВ),

а также для кластерных ионов алюминия  $\text{Al}_9^+ \rightarrow \text{Al}_8^+ + \text{Al}$  и  $\text{Al}_9^+ \rightarrow \text{Al}_8^+ + \text{Al}^+$  (распыление ионами  $\text{Xe}^+$  с энергией 8.5 кэВ).

В экспериментах использовался вторично-ионный масс-спектрометр с двойной фокусировкой [7]. Спектры кинетических энергий осколочных кластерных ионов, образующихся во второй бесполевой зоне масс-спектрометра, изменились в лабораторной системе координат энергоанализатором (электростатическое зеркало). Затем по методикам, описанным в [4,6], эти спектры пересчитывались в спектры энергий распада, соответствующие системе центра масс распадающегося кластера. На рис. 1 представлены спектры энергий распада распыленных кластеров  $\text{Al}_9^+$  (a) и кластеров  $\text{Cu}_9^-$  (б).

Применив для описания спектров энергий распада известные теории мономолекулярных реакций, например теорию РРКМ (Райса–Рамспергера–Касселя–Маркуса) [8,9] или теорию “испарительного ансамбля” К. Клотса [10,11], можно оценить энергии диссоциации распыленных кластеров. В рамках этих теорий кинетические энергии осколков выражаются через энергии активации данного канала реакции распада, которые в первом приближении можно считать равными энергиям диссоциации кластеров.

В теории К. Клотса распад рассматривается как испарение частицы из кластера [10]. При этом распределение испаренных частиц по кинетическим энергиям можно описать следующим образом:

$$dN/dE_p = E_p^l \exp[-E_p/(k_B T)], \quad (1)$$

где  $E_p$  — кинетическая энергия осколка в системе центра масс распадающегося кластера,  $k_B$  — постоянная Больцмана,  $0 \leq l \leq 1$ ,  $T$  — температура кластера, соответствующая энергии колебательного возбуждения  $E_{int}$  и константе скорости распада  $k$  [11]. Аппроксимируя спектры энергий распада функцией (1), мы определили методом наименьших квадратов параметры  $l$  и  $T$ , а затем оценили энергии активации  $E_d$ , которые в рамках теории “испарительного ансамбля” выражаются через  $T$  следующим образом:

$$E_d(T) = \frac{\gamma(n) k_B T}{1 - \gamma(n)/2C(n) + [\gamma(n)/C(n)]^2/12 + \dots}, \quad (2)$$

$$\gamma(n) = -\ln \left[ \frac{k(n)}{k_0 n^{2/3} \exp(6/n^{1/3})} \right]$$

— параметр Гспанна, зависящий от количества атомов в кластере  $n$  и средней константы скорости фрагментации  $k(n)$ ;  $C(n) = 3n - 1$  — теплоемкость кластера (в единицах

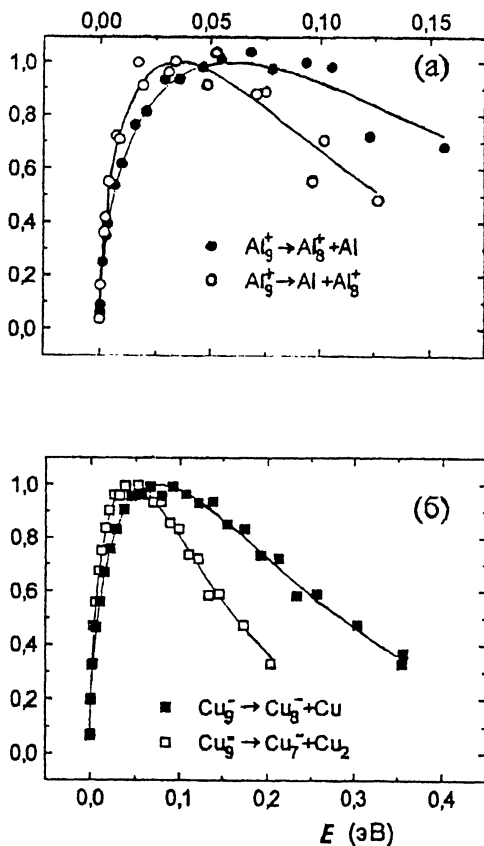


Рис. 1. Спектры энергий распада кластеров  $\text{Al}_9^+$ , распыленных из  $\text{Al}$  ионами  $\text{Xe}^+$  с энергией 8.5 кэВ, и кластеров  $\text{Cu}_9^-$ , распыленных из  $\text{Cu}$  ионами  $\text{Cs}^+$  с энергией 14 кэВ.

постоянной Больцмана);  $k_0 = 10^{13}$  с — частотный фактор. В наших экспериментах величина  $k(n)$  определялась из времени долета соответствующего кластера до середины второй бесполевой зоны масс-спектрометра. В таблице приведены энергии активации, определенные нами по формуле (2) для распада распыленных кластеров меди и алюминия по конкурирующим каналам.

Канал фрагментации кластера	Энергия активации, эВ
$Cu_7^+ \rightarrow Cu_6^+ + Cu$	3.69
$Cu_7^+ \rightarrow Cu_5^+ + Cu_2$	2.77
$Cu_9^- \rightarrow Cu_8^- + Cu$	4.89
$Cu_9^- \rightarrow Cu_7^- + Cu_2$	2.83
$Al_9^+ \rightarrow Al_8^+ + Al$	2.44
$Al_9^+ \rightarrow Al_8 + Al^+$	2.12

Эксперименты, проведенные ранее в работах [1,2], показали, что кластеры  $Cu_n^+$ , содержащие четное число атомов меди, распадаются только по каналу с вылетом нейтрального атома, а кластеры с нечетным числом атомов — по двум каналам: с вылетом атома и вылетом димера. Анализ результатов настоящей работы показывает, что энергия активации канала с вылетом нейтрального димера меньше, чем для распада с вылетом нейтрального атома. Следовательно, вероятность осуществления реакции по первому каналу выше, чем по второму. Указанное соотношение энергий

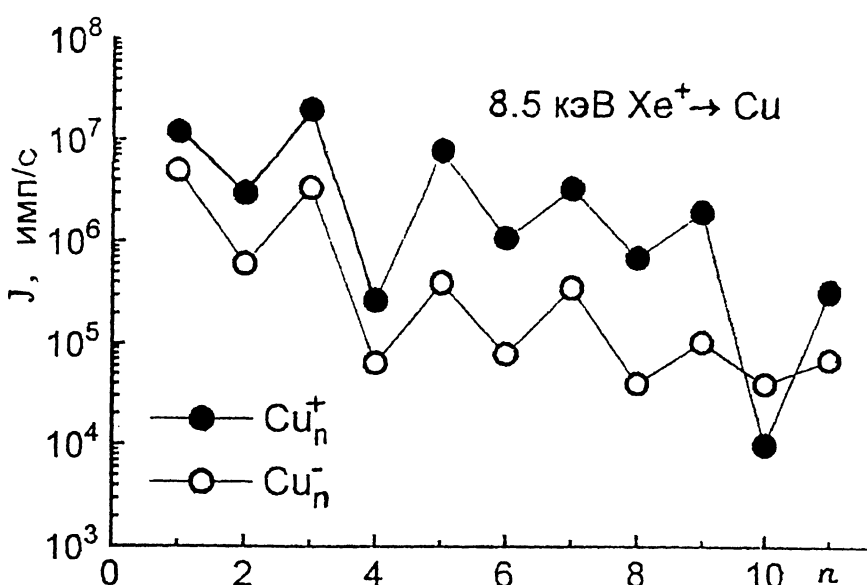


Рис. 2. Масс-спектры кластерных ионов  $Cu_n^+$  и  $Cu_n^-$ , распыленных из медной мишени ионами  $Xe^+$  с энергией 8.5 кэВ.

активации для конкурирующих каналов распада распыленных кластеров меди имеет один и тот же характер и для положительных, и для отрицательных ионов. Мы провели сравнительные исследования масс-спектров (рис. 2) и каналов фрагментации кластеров  $\text{Cu}_n^+$  и  $\text{Cu}_n^-$ , распыленных ионами  $\text{Xe}^+$  с энергией 8.5 кэВ, и убедились, что в обоих случаях проявляются одни и те же закономерности. По нашему мнению, подобие масс-спектров положительных и отрицательных вторичных кластерных ионов меди (рис. 2) является проявлением мономолекулярной фрагментации, когда кластеры с четным  $n$  распадаются только в кластеры с нечетным  $n$ , а кластеры с нечетным  $n$  распадаются преимущественно в кластеры с нечетным  $n$ . При этом в масс-спектре увеличивается относительная доля кластеров с нечетным количеством атомов, и наблюдаются четно-нечетные чередования в интенсивности выхода кластеров.

Для кластера  $\text{Al}_9$  анализ показывает, что канал распада с образованием атомарного иона и нейтрального кластера энергетически более выгоден, чем канал с образованием нейтрального атома и кластерного иона. Действительно, в масс-спектре частиц, распыленных из алюминия, значительную долю составляют атомарные ионы, часть которых образуется непосредственно в процессе распыления, а часть — в процессе фрагментации распыленных кластеров [12]. Для определения соотношения этих частей в масс-спектре необходимы более детальные исследования фрагментации распыленных кластеров алюминия — всех кластеров по всем возможным каналам.

Таким образом, в настоящей работе показано, что измерения спектров энергий распада позволяют объяснить закономерности этого процесса, оказывающие существенное влияние на формирование наблюдаемых в эксперименте масс-спектров.

### Список литературы

- [1] Dzhemilev N.Kh., Verkhoturov S.V., Veriovkin I.V. // Nucl. Instr. and Meth. 1990. V. B51. P. 219–225.
- [2] Dzhemilev N.Kh., Goldenberg A.M., Veriovkin I.V., Verkhoturov S.V. // Int. J. Mass Spectrom. Ion Proc. 1991. V. 107. P. R19–R25.
- [3] Dzhemilev N.Kh., Goldenberg A.M., Veriovkin I.V., Verkhoturov S.V. // Int. J. Mass Spectrom. Ion Proc. 1995. V. 141. P. 209–215.
- [4] Radi P.P., Hsu M.T., Brodbelt-Lustig J., Rincon M. // J. Chem. Phys. 1990. V. 92. N 8. P. 4817–4822.
- [5] Kornig S., Beijersbergen J.H.M., Los J. // J. Phys. Chem. 1990. V. 94. P. 611–617.
- [6] Веревкин И.В., Верхоторов С.В., Голденберг А.М., Джемилев Н.Х. // Изв. РАН. Сер. физ. 1994. Т. 58. № 4. С. 57–61.
- [7] Джемилев Н.Х., Беккерман А.Д., Ротштейн В.М., Цай Ю.М. // ПТЭ. 1990. № 3. С. 145–148.

- [8] Робинсон П., Холбрюк К. Мономолекулярные реакции. М.: Мир, 1975. 380 с.
- [9] Lin S.H., Tsong I.S.T., Ziv A.R., Szymonsky M., Loxton C.M. // Phys. Ser. 1983. Т. 6. С. 106–111.
- [10] Klots C.E. // Z. Phys. 1987. V. D5. P. 83–89.
- [11] Klots C.E. // Z. Phys. 1991. V. D21. P. 335–342.
- [12] Беккерман А.Д., Джемилев Н.Х., Ротштейн В.М. // Письма в ЖТФ. 1990. Т. 16. В. 4. С. 58–63.

Институт электроники  
АН Узбекистана  
Ташкент

Поступило в Редакцию  
11 сентября 1995 г.

---